

9 Turboähnliche Codes

9.1 LDPC[Low-Density Parity-Check]-(Block)Codes

- 1962 von GALLAGER erstmals vorgestellt, trotz ihrer sehr guten Eigenschaften lange vergessen
(Kodeverkettung schien überlegen, begrenzte Rechenleistung; FORNEY: „The way clearly far too complicated for the technology of the time.“ IEEE Spectrum, 2004.)
1993 *Turbo Code*, zeigt Stärke iterativer Dekodierung auf
1995 von MacKay/Neal leicht verbessert wiedererfunden und weiterentwickelt
- Grundlage für iterative Dekodierungsalgorithmen:
Sparsame Kontrollmatrix $H_{k \times n}$ mit $w(H) \ll k \cdot n$
(Für einen „guten“ Kode sollte aber Generatormatrix nicht sparsam sein: $w(a^*) = 1 \rightarrow w(a) \gg 1$)
- bei Vermeidung kleiner Zyklen in $H_{k \times n}$ an Leistung von ML Dekodierung
- Unterscheidung von LDPC-Codes

– regulär: Spaltengewicht γ , Zeilengewicht ρ konstant, $\gamma < \rho$;

$$R = 1 - \frac{\gamma}{\rho} = \frac{l}{n}$$

$$4\text{-zyklenfrei: } d_{\min} \geq \gamma + 1$$

– irregulär: Spalten- γ_j , Zeilengewicht ρ_i unterschiedlich;

$$R = 1 - \frac{\frac{1}{n} \sum_{j=1}^n \gamma_j}{\frac{1}{k} \sum_{i=1}^k \rho_i} = \frac{l}{n}$$

Beispiel

LDPC-Kode mit $\gamma = 3$, $\rho = 6$, $R = 1 - \frac{3}{6} = \frac{1}{2} = \frac{l}{n}$

$$H_{k \times n = 6 \times 12} = \begin{pmatrix} 1 & 1 & 0 & 1 & 0 & 0 & 0 & 0 & 1 & 1 & 0 & 1 \\ 1 & 1 & 1 & 1 & 1 & 0 & 0 & 1 & 0 & 0 & 0 & 0 \\ 1 & 0 & 1 & 0 & 1 & 1 & 0 & 0 & 0 & 1 & 1 & 0 \\ 0 & 0 & 0 & 1 & 1 & 1 & 1 & 0 & 1 & 0 & 1 & 0 \\ 0 & 1 & 1 & 0 & 0 & 0 & 1 & 1 & 0 & 0 & 1 & 1 \\ 0 & 0 & 0 & 0 & 0 & 1 & 1 & 1 & 1 & 1 & 0 & 1 \end{pmatrix} = [H_l \ H_k], \quad d_{min} = 4$$

In Vorbereitung der Anwendung iterativer Dekodierung:

- Zu H definierte Indexmengen:

$$K_i = \{j : 1 \leq j \leq n, h_{ij} = 1\} \quad (i = 1, 2, \dots, k), \quad |K_i| = \rho_{[i]}$$

Menge aller Variablen (Bits), die Einfluss auf die i -te Prüfgleichung haben

$$\text{Beispiel: } K_1 = \{1, 2, 4, 9, 10, 12\}, \quad K_2 = \{1, 2, 3, 4, 5, 8\}, \dots$$

$$N_j = \{i : 1 \leq i \leq k, h_{ij} = 1\} \quad (j = 1, 2, \dots, n), \quad |N_j| = \gamma_{[j]}$$

Menge der Prüfgleichungen, in welche die j -te Variable Einfluss hat

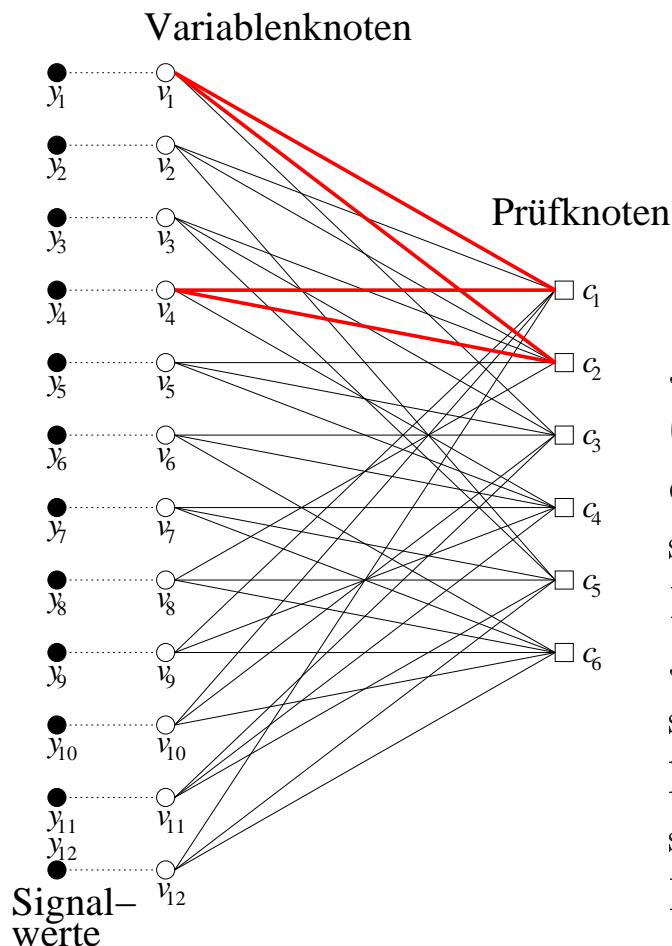
$$\text{Beispiel: } N_1 = \{1, 2, 3\}, \quad N_2 = \{1, 2, 5\}, \quad N_3 = \{2, 3, 5\}, \dots$$

Anstelle $s = H \cdot b_h^T$ weniger Operationen mit

$$s_i = \sum_{j \in K_i} y_{h,j} \bmod 2 \quad (i = 1, 2, \dots, k), \quad y_{h,j} \in \{0, 1\}$$

(Einsparung von Multiplikationen, auch Additionen).

- Zu H korrespondierender TANNER-Graph [factor, bipartite graph]



Jede(s) Variable (Bit) v_j (u_j) ist in drei Prüfgleichungen enthalten, korrespondierend zu den drei Einsen in jeder Spalte.

Jede Prüfgleichung c_i basiert auf sechs Variablen, korrespondierend zu den sechs Einsen in jeder Zeile.

Optimal: Graph ohne **Zyklen** [girth] \rightarrow Leistung einer ML Dekodierung

Ist das Gewicht der stellenweisen Multiplikation von zwei beliebigen Spalten (Zeilen) höchstens Eins, dann ist H 4-zyklenfrei.

- H -Konstruktionen
 - zufallsähnlich (Vorgabe von Zyklenlänge, Gewichtsverteilung von Variablen-, Prüfknoten,..., z. B. mit PEG Verfahren)
 - strukturiert (algebraische Zshg.e, wie quasi-zyklische Codes)

Kodierung (abhängig von H -Konstruktion)

- $a = a^* \cdot G = a_l \cdot G$ ($H \rightarrow G$?)
- $H_{k \times n} = [H_l \ H_k]$ und $a = [a_l \ a_k]$;
Wegen $H \cdot a^T = \mathbf{0}$ ist $H_k \cdot a_k^T = H_l \cdot a_l^T$ und damit
 $\rightarrow a_k^T = \mathbf{H}_k^{-1} \cdot H_l \cdot a_l^T$
(Voraussetzung: H_k quadratisch und invertierbar)
- H zyklisch:
$$a_j = \sum_{j' \in K_i \setminus j} a_{j'} \text{ mod } 2 \quad (j = l + i, i = 1, 2, \dots, k)$$
- $H = [H_l \ H_k] = [H_1 \ H_2]$
 H_1 zufallsähnlich; H_2 bidiagonal (staircase) (DVB-S2) oder
 H_2 untere Dreiecksmatrix (triangle):
Kodierung wie H zyklisch

Dekodierung

Dekodierungsmethode:

Iterative (Syndrom-)Dekodierung $s = H \cdot b_h^T = \mathbf{0}$?

Dekodierungsalgorithmen:

- hard-decision Dekodierung:
Basis: $y_{h,j} \in \{0, 1\}$
- hard/soft reliability-based (hybride) Dekodierung:
Basis: $y_{h,j} \in \{0, 1\}$ und bei soft-Zuverlässigkeit Einbeziehung
der Signalwerte $y_j \in \mathbb{R}$ in den Berechnungsablauf
- soft-decision Dekodierung:
Basis: $y_j \in \mathbb{R}$

hard-decision und soft/hard reliability-based Dekodierung

Beispiel: $a_l = (110100)$ $a_k = (010011)$ \longrightarrow

$$b_M = (-0.9, -0.9, 1.0, 0.1, 0.3, 1.0, 0.8, -0.7, 1.0, 0.9, -1.0, 0.4), b_h^{(0)} \in A?$$

- **bit-flipping** Algorithmus (GALLAGER 1962)

$$s_i^{(0)} = \sum_{j \in K_i} y_{h,j}^{(0)} \bmod 2 \quad (i = 1, 2, \dots, k)$$

$$s^{(\tau)} \neq \mathbf{0} : e_j^{(\tau)} = \sum_{i \in N_j} s_i^{(\tau)} \quad (j = 1, 2, \dots, n)$$

$$\text{flip}(y_{h,j}^{(\tau+1)}), \text{ wenn } e_j^{(\tau)} \geq T \text{ oder } = T_{max} = \max_{j=1}^n e_j^{(\tau)}$$

Abbruch: $s^{(\tau+1)} = \mathbf{0}$ oder $\tau > \tau_{max}$, sonst $\tau = \tau + 1$

- hybride bit-flipping Algorithmen (2001 ... 2008 ...)

- weighed bit-flipping (WBF): bezieht Signalwerte y_j als soft-Zuverlässigkeit einer Prüfgleichung ein:

$$w_i = \min_{j \in K_i} |y_j| \quad (i = 1, 2, \dots, k) \quad (\text{QWBF: } w_i > \Delta : w_i = 2, \text{ sonst } w_i = 1)$$

$$s^{(\tau)} \neq \mathbf{0} : e_j^{(\tau)} = \sum_{i \in N_j} (2 s_i^{(\tau)} - 1) \cdot w_i \quad (j = 1, 2, \dots, n)$$

$$\text{flip}(y_{h,j}^{(\tau+1)}), \text{ wenn } e_j^{(\tau)} = T_{max}$$

- modified WBF (MWBF): bezieht Signalwerte als soft-Zuverlässigkeit einer Prüfgleichung und Bit-basiert ein (α – Wichtigkeitsfaktor, exper. ermittelt, wächst mit γ : $\alpha \in [0.3, 2.0]$):

$$w_i = \min_{j \in K_i} |y_j| \quad (i = 1, 2, \dots, k)$$

$$s^{(\tau)} \neq \mathbf{0} : e_j^{(\tau)} = \sum_{i \in N_j} (2 s_i^{(\tau)} - 1) \cdot w_i - \alpha |y_j| \quad (j = 1, 2, \dots, n)$$

$$\text{flip}(y_{h,j}^{(\tau+1)}), \text{ wenn } e_j^{(\tau)} = T_{max}$$

- improved MWBF (IMWBF): wie modified, bezieht aber extrinsische Information als soft-Zuverlässigkeit ein

$$L_e(\hat{u}_{ij}) = w_{ij} = \min_{j' \in K_i \setminus j} |y_{j'}| \quad (i = 1, 2, \dots, k)$$

$$s^{(\tau)} \neq \mathbf{0} : e_j^{(\tau)} = \sum_{i \in N_j} (2s_i^{(\tau)} - 1)w_{ij} - \alpha|y_j| \quad (j = 1, 2, \dots, n)$$

$$\text{flip}(y_{h,j}^{(\tau+1)}), \text{ wenn } e_j^{(\tau)} = T_{max}$$

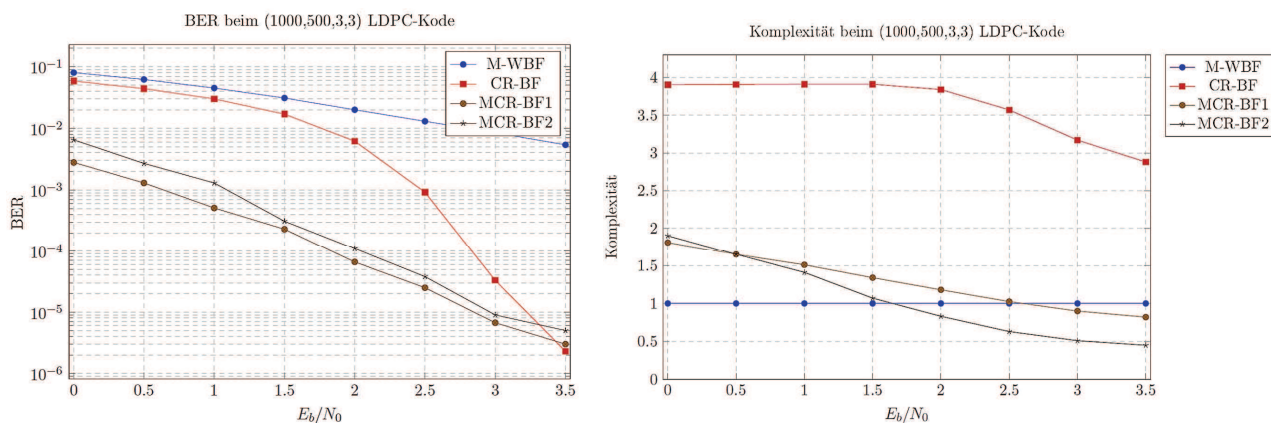
- iterative Anpassung der Prüfgleichungs-Zuverlässigkeit¹⁰ über alle $j_{\text{flip}}^{(\tau)}$ nicht erfüllte Prüfgleichungen $s_i^{(\tau)} = 1$:

$$w_i^{(\tau+1)} = w_i^{(\tau)} + \delta \quad \text{bzw.} \quad w_{ij}^{(\tau+1)} = w_{ij}^{(\tau)} + \delta \quad (\delta \approx 0.03)$$

⋮

- C.Y. Chang, et. al. *Check Reliability Based Bit-Flipping Decoding Algorithms for LDPC Codes*. 2010, u.a. untersucht in:

A. Kropp *Einordnung und Bewertung jüngst modifizierter BF/MLG Dekodierungsalgorithmen*. Bachelorarbeit 2014



→ modifizierte Versionen (MCR-BF1, MCR-BF2) kippen in Abhängigkeit von $w(s)$ mehrere Bits

¹⁰D. Qian, et al. *A Modification to Weighted Bit-Flipping Decoding Algorithm for LDPC Codes based on Reliability Adjustment*. 2008 IEEE

Kontrollmatrix **orthogonal**¹¹: $\gamma = \rho$ in $\mathbf{H}_{n \times n}$, $d_{min} = \gamma + 1$
 → **majority-logic** (MLG) Algorithmus

Beispiel: (15,7,5)BCH, orthogonal

$$g(x) = x^8 + x^7 + x^6 + x^4 + 1 \rightarrow h(x) = \frac{f(x)}{g(x)} = x^7 + x^6 + x^4 + 1$$

$$a = (100010111000000) \rightarrow b_h = (111010111000000) \in A?$$

- one-step majority-logic Algorithmus (REED 1954, MASSEY 1963)

Notw.: orthogonale Prüfsumme bezogen auf Variable (Bit) v_j

$$s_i = \sum_{j \in K_i} y_{h,j} \bmod 2 \quad (i = 1, 2, \dots, k)$$

$$s \neq \mathbf{0} : e_j = \sum_{i \in N_j} s_i \rightarrow \text{flip}(y_{h,j}), \text{ wenn } e_j > \lfloor \frac{\gamma}{2} \rfloor$$

$$(j = 1, 2, \dots, n)$$

Auch möglich:

$$s \neq \mathbf{0} : e_j = \sum_{i \in N_j} (2s_i - 1) \text{ mit } e_j \in [-\gamma, +\gamma]$$

$$\rightarrow \text{flip}(y_{h,j}), \text{ wenn } e_j > 0 \quad (j = 1, 2, \dots, n)$$

→ Überprüfung von $s = \mathbf{0}$? zum Erkennen von Dekodierungsversagen!

¹¹Summiere v_j beeinflussende Prüfgleichungen: Summe über v_j ist γ , sonst höchstens 1.

- hard reliability-based **iterativer** MLG Algorithmus (2009¹²)

$$r_j^{(0)} = \gamma, \text{ wenn } y_{h,j}^{(0)} = 0, \text{ sonst } r_j^{(0)} = -\gamma$$

$$s_i^{(0)} = \sum_{j \in K_i} y_{h,j}^{(0)} \bmod 2 \quad (i = 1, 2, \dots, k)$$

$$s^{(\tau)} \neq \mathbf{0} : \left[L_e(\hat{u}_{ij}) = \sum_{j' \in K_i \setminus j} y_{h,j'}^{(\tau)} \bmod 2 = s_i^{(\tau)} \oplus y_{h,j}^{(\tau)} \quad (i = 1..k) \right]$$

$$e_j^{(\tau)} = \sum_{i \in N_j} (2 L_e(\hat{u}_{ij}) - 1) = \sum_{i \in N_j} (2(s_i^{(\tau)} \oplus y_{h,j}^{(\tau)}) - 1)$$

$$r_j^{(\tau+1)} = \min\{\max\{r_j^{(\tau)} - e_j^{(\tau)}, -\gamma\}, \gamma\}$$

$$y_{h,j}^{(\tau+1)} = 0, \text{ wenn } r_j^{(\tau+1)} \geq 0, \text{ sonst } y_{h,j}^{(\tau+1)} = 1 \quad (j = 1..n)$$

Abbruch: $s^{(\tau+1)} = \mathbf{0}$ oder $\tau > \tau_{max}$, sonst $\tau = \tau + 1$

- soft reliability-based iterativer MLG Algorithmus

soft aus $(2^x - 1)$ quantisiertem Signalbereich (x Bit quantis.):

$$r_j^{(0)} = y_{q,j} \in [-(2^{x-1}-1), 2^{x-1}-1], y_{q,j} = \text{round}(y_j \cdot (2^{x-1}-1)) \quad (j = 1..n)$$

sonst wie hard

Vergleich WBF- und iterative MLG Algorithmen

- MLG erfordern nur logische Operationen und Integer-Additionen
- MLG erlauben parallele Dekodierung
- MLG nur für orthogonale H
- hard MLG vergleichbar mit BF, schlechter als WBF
- soft MLG konvergiert wesentlich schneller als WBF
- soft MLG nur < 1 dB zum optimalen sum-product Algorithmus

¹²Q. Huang, et al. *Two Reliability-Based Iterative Majority-Logic Decoding Algorithms for LDPC Codes*. 2009 IEEE